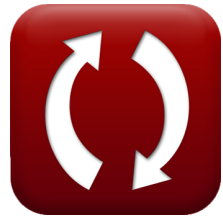


[calculatoratoz.com](http://calculatoratoz.com)[unitsconverters.com](http://unitsconverters.com)

# Débit progressivement varié dans les canaux Formules

[calculatrices !](#)[Exemples!](#)[conversions !](#)

Signet [calculatoratoz.com](http://calculatoratoz.com), [unitsconverters.com](http://unitsconverters.com)

Couverture la plus large des calculatrices et croissantes - **30 000+ calculatrices !**  
Calculer avec une unité différente pour chaque variable - **Dans la conversion d'unité intégrée !**

La plus large collection de mesures et d'unités - **250+ Mesures !**

N'hésitez pas à PARTAGER ce document avec vos amis !

[Veuillez laisser vos commentaires ici...](#)



# Liste de 36 Débit progressivement varié dans les canaux Formules

## Débit progressivement varié dans les canaux ↗

### 1) Aire de la section donnée Gradient énergétique ↗

**fx**

$$S = \left( Q_{eg}^2 \cdot \frac{T}{\left(1 - \left(\frac{i}{m}\right)\right) \cdot ([g])} \right)^{\frac{1}{3}}$$

Ouvrir la calculatrice ↗

**ex**

$$4.007819 \text{ m}^2 = \left( (12.5 \text{ m}^3/\text{s})^2 \cdot \frac{2m}{\left(1 - \left(\frac{2.02}{4}\right)\right) \cdot ([g])} \right)^{\frac{1}{3}}$$

### 2) Décharge donnée Énergie totale ↗

**fx**

$$Q_f = ((E_t - d_f) \cdot 2 \cdot [g] \cdot S^2)^{0.5}$$

Ouvrir la calculatrice ↗

**ex**

$$177.4395 \text{ m}^3/\text{s} = \left( (103.13 \text{ J} - 3.3 \text{ m}) \cdot 2 \cdot [g] \cdot (4.01 \text{ m}^2)^2 \right)^{0.5}$$

### 3) Décharge donnée Gradient énergétique ↗

**fx**

$$Q_{eg} = \left( \left( \left( 1 - \left( \frac{i}{m} \right) \right) \cdot \frac{[g] \cdot S^3}{T} \right) \right)^{0.5}$$

Ouvrir la calculatrice ↗

**ex**

$$12.51021 \text{ m}^3/\text{s} = \left( \left( 1 - \left( \frac{2.02}{4} \right) \right) \cdot \frac{[g] \cdot (4.01 \text{ m}^2)^3}{2m} \right)^{0.5}$$



**4) Décharge donnée Numéro Froude ↗**

**fx** 
$$Q_f = \frac{Fr}{\sqrt{\frac{T}{[g] \cdot S^3}}}$$

**Ouvrir la calculatrice ↗**

**ex** 
$$177.8123 \text{ m}^3/\text{s} = \frac{10}{\sqrt{\frac{2\text{m}}{[g] \cdot (4.01\text{m}^2)^3}}}$$

**5) Énergie totale du flux ↗**

**fx** 
$$E_t = d_f + \frac{Q_f^2}{2 \cdot [g] \cdot S^2}$$

**Ouvrir la calculatrice ↗**

**ex** 
$$102.6361J = 3.3\text{m} + \frac{(177\text{m}^3/\text{s})^2}{2 \cdot [g] \cdot (4.01\text{m}^2)^2}$$

**6) Formule de Chezy pour la pente du lit compte tenu de la pente énergétique du canal rectangulaire ↗**

**fx** 
$$S_0 = \frac{S_f}{\left(\frac{C}{d_f}\right)^3}$$

**Ouvrir la calculatrice ↗**

**ex** 
$$2.663331 = \frac{2.001}{\left(\frac{3\text{m}}{3.3\text{m}}\right)^3}$$



## 7) Formule de Chezy pour la profondeur d'écoulement compte tenu de la pente énergétique du canal rectangulaire ↗

$$fx \quad d_f = \frac{C}{\left(\frac{S_f}{S_0}\right)^{\frac{1}{3}}}$$

[Ouvrir la calculatrice ↗](#)

$$ex \quad 3.779448m = \frac{3m}{\left(\frac{2.001}{4.001}\right)^{\frac{1}{3}}}$$

## 8) Formule de Chezy pour la profondeur normale compte tenu de la pente énergétique du canal rectangulaire ↗

$$fx \quad C = \left( \left( \frac{S_f}{S_0} \right)^{\frac{1}{3}} \right) \cdot d_f$$

[Ouvrir la calculatrice ↗](#)

$$ex \quad 2.61943m = \left( \left( \frac{2.001}{4.001} \right)^{\frac{1}{3}} \right) \cdot 3.3m$$

## 9) Gradient énergétique donné Pente ↗

$$fx \quad i = \left( 1 - \left( Q_{eg}^2 \cdot \frac{T}{[g] \cdot S^3} \right) \right) \cdot m$$

[Ouvrir la calculatrice ↗](#)

$$ex \quad 2.02323 = \left( 1 - \left( (12.5m^3/s)^2 \cdot \frac{2m}{[g] \cdot (4.01m^2)^3} \right) \right) \cdot 4$$

## 10) Gradient énergétique donné Pente du lit ↗

$$fx \quad i = S_0 - S_f$$

[Ouvrir la calculatrice ↗](#)

$$ex \quad 2 = 4.001 - 2.001$$



## 11) Largeur supérieure donnée Gradient énergétique ↗

**fx**  $T = \left( \left( 1 - \left( \frac{i}{m} \right) \right) \cdot \frac{[g] \cdot S^3}{Q_{eg}^2} \right)$

[Ouvrir la calculatrice ↗](#)

**ex**  $2.003268m = \left( \left( 1 - \left( \frac{2.02}{4} \right) \right) \cdot \frac{[g] \cdot (4.01m^2)^3}{(12.5m^3/s)^2} \right)$

## 12) Largeur supérieure donnée par le numéro de Froude ↗

**fx**  $T = \frac{Fr^2 \cdot S^3 \cdot [g]}{Q_f^2}$

[Ouvrir la calculatrice ↗](#)

**ex**  $2.0184m = \frac{(10)^2 \cdot (4.01m^2)^3 \cdot [g]}{(177m^3/s)^2}$

## 13) Nombre de Froude donné Pente de l'équation dynamique d'un écoulement graduellement varié ↗

**fx**  $F_{r(d)} = \sqrt{1 - \left( \frac{S_0 - S_f}{m} \right)}$

[Ouvrir la calculatrice ↗](#)

**ex**  $0.707107 = \sqrt{1 - \left( \frac{4.001 - 2.001}{4} \right)}$



### 14) Numéro de Froude donné Largeur supérieure ↗

$$fx \quad Fr = \sqrt{Q_f^2 \cdot \frac{T}{[g] \cdot S^3}}$$

[Ouvrir la calculatrice ↗](#)

$$ex \quad 9.954315 = \sqrt{(177m^3/s)^2 \cdot \frac{2m}{[g] \cdot (4.01m^2)^3}}$$

### 15) Pente de l'équation dynamique de flux graduellement variés ↗

$$fx \quad m = \frac{S_0 - S_f}{1 - (F_{r(d)}^2)}$$

[Ouvrir la calculatrice ↗](#)

$$ex \quad 3.921569 = \frac{4.001 - 2.001}{1 - ((0.7)^2)}$$

### 16) Pente de l'équation dynamique de l'écoulement progressivement varié étant donné le gradient d'énergie ↗

$$fx \quad m = \frac{i}{1 - (Q_{eg}^2 \cdot \frac{T}{[g] \cdot S^3})}$$

[Ouvrir la calculatrice ↗](#)

$$ex \quad 3.993615 = \frac{2.02}{1 - ((12.5m^3/s)^2 \cdot \frac{2m}{[g] \cdot (4.01m^2)^3})}$$

### 17) Pente du lit donnée Pente de l'équation dynamique de l'écoulement graduellement varié ↗

$$fx \quad S_0 = S_f + \left( m \cdot \left( 1 - (F_{r(d)}^2) \right) \right)$$

[Ouvrir la calculatrice ↗](#)

$$ex \quad 4.041 = 2.001 + \left( 4 \cdot \left( 1 - ((0.7)^2) \right) \right)$$



**18) Pente du lit donnée Pente énergétique du canal rectangulaire** ↗

**fx**  $S_0 = \frac{S_f}{\left(\frac{C}{d_f}\right)^{\frac{10}{3}}}$

[Ouvrir la calculatrice ↗](#)

**ex**  $2.749304 = \frac{2.001}{\left(\frac{3m}{3.3m}\right)^{\frac{10}{3}}}$

**19) Pente inférieure du canal compte tenu du gradient d'énergie** ↗

**fx**  $S_0 = i + S_f$

[Ouvrir la calculatrice ↗](#)

**ex**  $4.021 = 2.02 + 2.001$

**20) Profondeur d'écoulement donnée Énergie Pente du canal rectangulaire** ↗

**fx**  $d_f = \frac{C}{\left(\frac{S_f}{S_0}\right)^{\frac{3}{10}}}$

[Ouvrir la calculatrice ↗](#)

**ex**  $3.693156m = \frac{3m}{\left(\frac{2.001}{4.001}\right)^{\frac{3}{10}}}$

**21) Profondeur d'écoulement donnée Énergie totale** ↗

**fx**  $d_f = E_t - \left( \frac{Q_f^2}{2 \cdot [g] \cdot S^2} \right)$

[Ouvrir la calculatrice ↗](#)

**ex**  $3.793897m = 103.13J - \left( \frac{(177m^3/s)^2}{2 \cdot [g] \cdot (4.01m^2)^2} \right)$



## 22) Profondeur normale donnée Pente d'énergie du canal rectangulaire ↗

**fx**  $C = \left( \left( \frac{S_f}{S_0} \right)^{\frac{3}{10}} \right) \cdot d_f$

Ouvrir la calculatrice ↗

**ex**  $2.680634m = \left( \left( \frac{2.001}{4.001} \right)^{\frac{3}{10}} \right) \cdot 3.3m$

## 23) Superficie de la section donnée Énergie totale ↗

**fx**  $S = \left( \frac{Q_f^2}{2 \cdot [g] \cdot (E_t - d_f)} \right)^{0.5}$

Ouvrir la calculatrice ↗

**ex**  $4.000068m^2 = \left( \frac{(177m^3/s)^2}{2 \cdot [g] \cdot (103.13J - 3.3m)} \right)^{0.5}$

## 24) Superficie de la section donnée Numéro de Froude ↗

**fx**  $S = \left( \left( Q_f^2 \cdot \frac{T}{[g] \cdot Fr^2} \right) \right)^{\frac{1}{3}}$

Ouvrir la calculatrice ↗

**ex**  $3.997777m^2 = \left( \left( (177m^3/s)^2 \cdot \frac{2m}{[g] \cdot (10)^2} \right) \right)^{\frac{1}{3}}$



## Pente d'énergie ↗

### 25) Formule Chezy pour la pente énergétique du canal rectangulaire ↗

**fx**  $S_f = S_0 \cdot \left( \frac{C}{d_f} \right)^3$

Ouvrir la calculatrice ↗

**ex**  $3.006011 = 4.001 \cdot \left( \frac{3m}{3.3m} \right)^3$

### 26) Pente d'énergie donnée Pente de l'équation dynamique d'un écoulement graduellement varié ↗

**fx**  $S_f = S_0 - \left( m \cdot \left( 1 - \left( F_{r(d)}^2 \right) \right) \right)$

Ouvrir la calculatrice ↗

**ex**  $1.961 = 4.001 - \left( 4 \cdot \left( 1 - \left( (0.7)^2 \right) \right) \right)$

### 27) Pente d'énergie du canal en fonction du gradient d'énergie ↗

**fx**  $S_f = S_0 - i$

Ouvrir la calculatrice ↗

**ex**  $1.981 = 4.001 - 2.02$

### 28) Pente d'énergie du canal rectangulaire ↗

**fx**  $S_f = S_0 \cdot \left( \frac{C}{d_f} \right)^{\frac{10}{3}}$

Ouvrir la calculatrice ↗

**ex**  $2.91201 = 4.001 \cdot \left( \frac{3m}{3.3m} \right)^{\frac{10}{3}}$



## Large canal rectangulaire ↗

### 29) Formule de Chezy pour la pente de l'équation dynamique d'un écoulement progressivement varié ↗

$$fx \quad m = S_0 \cdot \left( \frac{1 - \left( \left( \frac{y}{d_f} \right)^3 \right)}{1 - \left( \left( \left( \frac{h_c}{d_f} \right)^3 \right) \right)} \right)$$

[Ouvrir la calculatrice ↗](#)

$$ex \quad 3.729335 = 4.001 \cdot \left( \frac{1 - \left( \left( \frac{1.5m}{3.3m} \right)^3 \right)}{1 - \left( \left( \left( \frac{1.001m}{3.3m} \right)^3 \right) \right)} \right)$$

### 30) Formule de Chezy pour la profondeur critique du chenal compte tenu de la pente de l'équation dynamique de GVF ↗

$$fx \quad H_C = \left( \left( 1 - \left( \left( \frac{1 - \left( \left( \frac{y}{d_f} \right)^3 \right)}{\frac{m}{S_0}} \right) \right)^{\frac{1}{3}} \right) \right) \cdot d_f$$

[Ouvrir la calculatrice ↗](#)

$$ex \quad 0.106454m = \left( \left( 1 - \left( \left( \frac{1 - \left( \left( \frac{1.5m}{3.3m} \right)^3 \right)}{\frac{4}{4.001}} \right) \right)^{\frac{1}{3}} \right) \right) \cdot 3.3m$$



### 31) Formule de Chezy pour la profondeur normale du chenal compte tenu de la pente de l'équation dynamique de GVF ↗

**fx****Ouvrir la calculatrice ↗**

$$y = \left( \left( 1 - \left( \left( \frac{m}{S_0} \right) \cdot \left( \left( 1 - \left( \left( \left( \frac{h_c}{d_f} \right)^3 \right) \right) \right) \right) \right)^{\frac{1}{3}} \right) \cdot d_f \right)$$

**ex**

$$1.003896m = \left( \left( 1 - \left( \left( \frac{4}{4.001} \right) \cdot \left( \left( 1 - \left( \left( \left( \frac{1.001m}{3.3m} \right)^3 \right) \right) \right) \right) \right)^{\frac{1}{3}} \right) \cdot 3.3m \right)$$

### 32) Pente des équations dynamiques d'écoulement graduellement varié ↗

**fx****Ouvrir la calculatrice ↗**

$$m = S_0 \cdot \left( \frac{1 - \left( \left( \frac{y}{d_f} \right)^{\frac{10}{3}} \right)}{1 - \left( \left( \frac{h_c}{d_f} \right)^3 \right)} \right)$$

**ex**

$$3.818671 = 4.001 \cdot \left( \frac{1 - \left( \left( \frac{1.5m}{3.3m} \right)^{\frac{10}{3}} \right)}{1 - \left( \left( \frac{1.001m}{3.3m} \right)^3 \right)} \right)$$



### 33) Pente du lit du chenal donnée Pente de l'équation dynamique de GVF via la formule de Chezy ↗

**fx**

$$S_0 = \frac{m}{\left( \frac{1 - \left( \left( \frac{y}{d_f} \right)^3 \right)}{1 - \left( \left( \frac{h_c}{d_f} \right)^3 \right)} \right)}$$

Ouvrir la calculatrice ↗

**ex**

$$4.291382 = \frac{4}{\left( \frac{1 - \left( \left( \frac{1.5m}{3.3m} \right)^3 \right)}{1 - \left( \left( \frac{1.001m}{3.3m} \right)^3 \right)} \right)}$$

### 34) Pente du lit du chenal donnée Pente de l'équation dynamique de l'écoulement graduellement varié ↗

**fx**

$$S_0 = \frac{m}{\left( \frac{1 - \left( \left( \frac{y}{d_f} \right)^{\frac{10}{3}} \right)}{1 - \left( \left( \frac{h_c}{d_f} \right)^3 \right)} \right)}$$

Ouvrir la calculatrice ↗

**ex**

$$4.190987 = \frac{4}{\left( \frac{1 - \left( \left( \frac{1.5m}{3.3m} \right)^{\frac{10}{3}} \right)}{1 - \left( \left( \frac{1.001m}{3.3m} \right)^3 \right)} \right)}$$



### 35) Profondeur critique du chenal compte tenu de la pente de l'équation dynamique du débit graduellement varié ↗

[Ouvrir la calculatrice ↗](#)

**fx**  $H_C = \left( \left( 1 - \left( \left( \frac{1 - \left( \left( \frac{y}{d_f} \right)^{\frac{10}{3}} \right)}{\frac{m}{S_0}} \right)}{\frac{1}{3}} \right) \right) \cdot d_f \right)$

**ex**  $0.081154m = \left( \left( 1 - \left( \left( \frac{1 - \left( \left( \frac{1.5m}{3.3m} \right)^{\frac{10}{3}} \right)}{\frac{4}{4.001}} \right)}{\frac{1}{3}} \right) \right) \cdot 3.3m \right)$

### 36) Profondeur normale du chenal donnée Pente de l'équation dynamique du débit graduellement varié ↗

[Ouvrir la calculatrice ↗](#)

**fx**  $y = \left( \left( 1 - \left( \left( \frac{m}{S_0} \right) \cdot \left( \left( 1 - \left( \left( \left( \frac{h_c}{d_f} \right)^3 \right) \right) \right) \right) \right) \right)^{\frac{3}{10}} \cdot d_f \right)$

**ex**  $1.130762m = \left( \left( 1 - \left( \left( \frac{4}{4.001} \right) \cdot \left( \left( 1 - \left( \left( \left( \frac{1.001m}{3.3m} \right)^3 \right) \right) \right) \right) \right) \right)^{\frac{3}{10}} \cdot 3.3m \right)$



## Variables utilisées

- **C** Profondeur critique du canal (*Mètre*)
- **d<sub>f</sub>** Profondeur du flux (*Mètre*)
- **E<sub>t</sub>** Énergie totale en canal ouvert (*Joule*)
- **F<sub>r(d)</sub>** Froude Non par équation dynamique
- **Fr** Numéro Froude
- **h<sub>c</sub>** Profondeur critique du déversoir (*Mètre*)
- **H<sub>C</sub>** Profondeur critique du flux GVF du canal (*Mètre*)
- **i** Gradient hydraulique à la perte de charge
- **m** Pente de la ligne
- **Q<sub>eg</sub>** Décharge par gradient d'énergie (*Mètre cube par seconde*)
- **Q<sub>f</sub>** Décharge pour le débit GVF (*Mètre cube par seconde*)
- **S** Surface mouillée (*Mètre carré*)
- **S<sub>0</sub>** Pente du lit du canal
- **S<sub>f</sub>** Pente énergétique
- **T** Largeur supérieure (*Mètre*)
- **y** Profondeur normale (*Mètre*)



# Constantes, Fonctions, Mesures utilisées

- **Constante:** [g], 9.80665 Meter/Second<sup>2</sup>  
*Gravitational acceleration on Earth*
- **Fonction:** **sqrt**, sqrt(Number)  
*Square root function*
- **La mesure:** **Longueur** in Mètre (m)  
*Longueur Conversion d'unité* ↗
- **La mesure:** **Zone** in Mètre carré (m<sup>2</sup>)  
*Zone Conversion d'unité* ↗
- **La mesure:** **Énergie** in Joule (J)  
*Énergie Conversion d'unité* ↗
- **La mesure:** **Débit volumétrique** in Mètre cube par seconde (m<sup>3</sup>/s)  
*Débit volumétrique Conversion d'unité* ↗



## Vérifier d'autres listes de formules

- Débit progressivement varié dans les canaux Formules 

N'hésitez pas à PARTAGER ce document avec vos amis !

### PDF Disponible en

[English](#) [Spanish](#) [French](#) [German](#) [Russian](#) [Italian](#) [Portuguese](#) [Polish](#) [Dutch](#)

2/1/2024 | 4:10:48 PM UTC

Veuillez laisser vos commentaires ici...

